

Modelado y Animación por Computador

Tema 2: Modelado

Dr. Miguel Davia Aracil



Tema 2: Modelado

- 1.- Introducción
- 2.- Modelos geométricos de representación
- 3.- Técnicas de modelado
- 4.- Transformaciones geométricas
- 5.- Deformadores**
- 6.- Sistemas de partículas
- 7.- Fuerzas
- 8.- Efectos atmosféricos

Deformadores

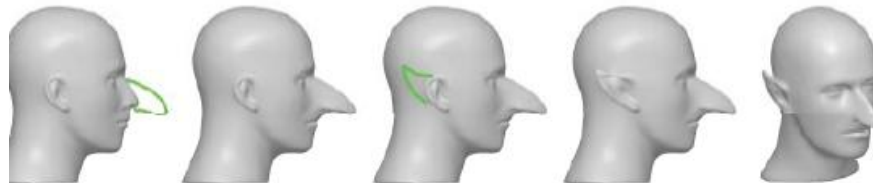
Deformaciones

¿Por qué deformar?

☐ Animación



☐ Edición



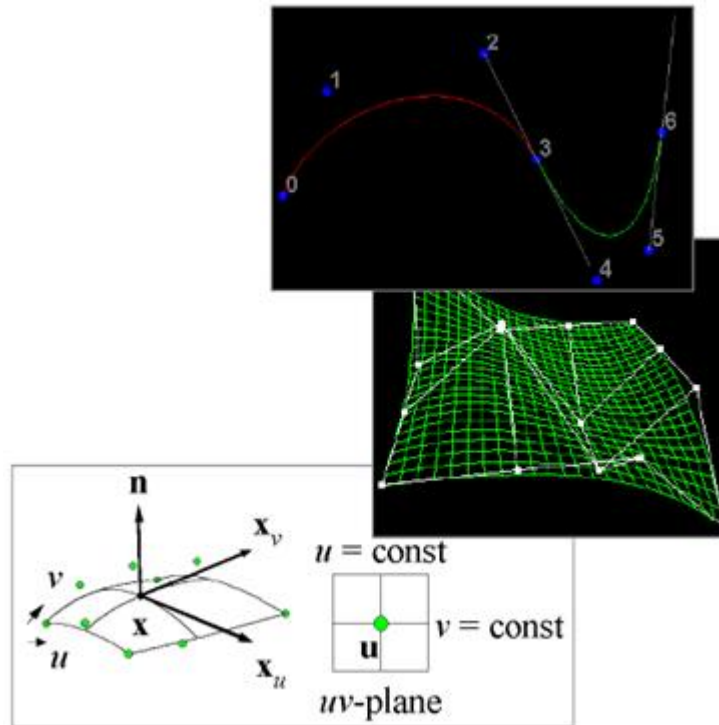
☐ Simulación



Deformadores

Curvas y superficies paramétricas

Deformación mediante manipulación de los puntos de control

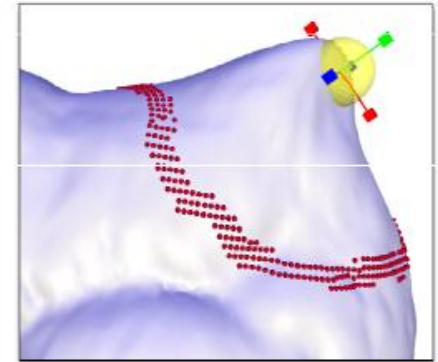


Deformadores

Deformación de meshes/shapes

Idea básica

- ❑ **Técnica básica:** mover vértices **individualmente**
- ❑ **Técnica avanzada:**
 - Crear un conjunto de **parámetros de control** de la deformación
 - Introducir un pequeño conjunto de **manejadores**
 - Simplifican la edición
 - Permiten la vinculación entre grados de libertad y simplificación del trabajo de deformación



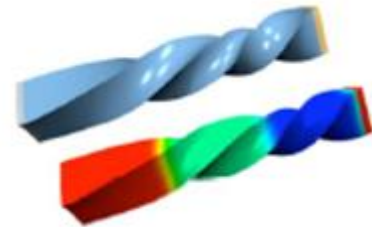
Deformadores

Deformación de meshes/shapes

Paradigmas utilizados

▪ Surface based deformation

- Edición mediante operador laplaciano y otras aproximaciones basadas en **minimización de funciones de energía**
- Permiten preservar la forma a través de la malla Laplaciana. Resistencia a “bending/streching”



▪ Space deformation

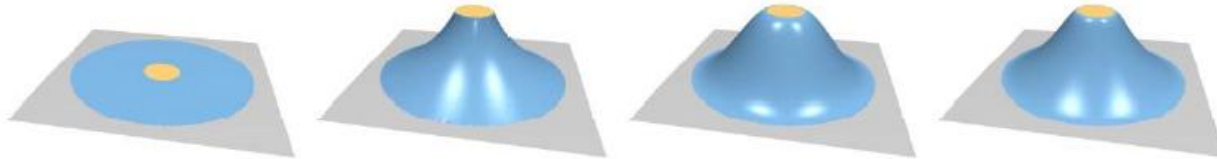
- Se deforma el espacio 2D/3D en el cual queda incluido el objeto. Normalmente se establece un **objeto de control** que estructura la deformación
- La deformación se propaga a todos los puntos del espacio
- Es independiente de la forma del objeto y su posición, así como de su representación geométrica

Deformadores

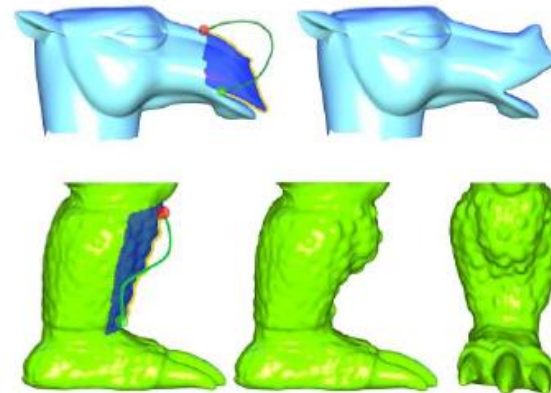
Surface-based deformation

Ejemplos

- Region of interest (ROI) + affine deformation of handle with variable boundary continuity



- Intuitive sketch-based deformation interfaces

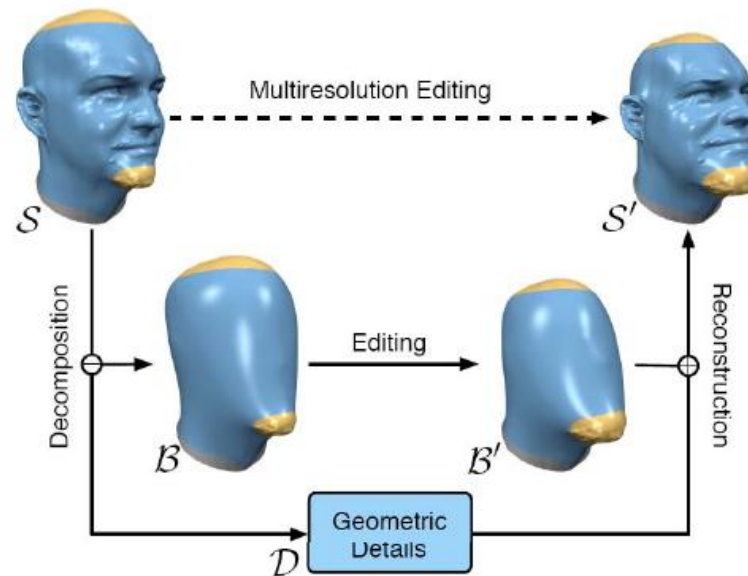


Deformadores

Surface-based deformation

Ejemplos

- Multi-resolution mesh editing



Deformadores

Surface-based deformation

Estructura general

- Encontrar una “mesh” que optimice alguna **función objetivo** y satisfaga ciertas **restricciones** de modelado

$$\mathbf{x}' = \arg \min_{\mathbf{x}'} F(\mathbf{x}') \quad \text{s.t. } \mathbf{x}'_i = \mathbf{c}_i$$

Deformadores

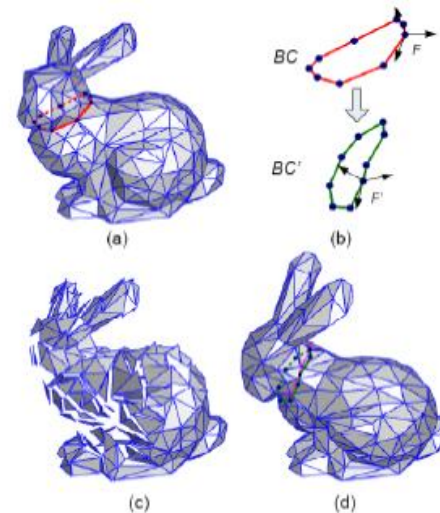
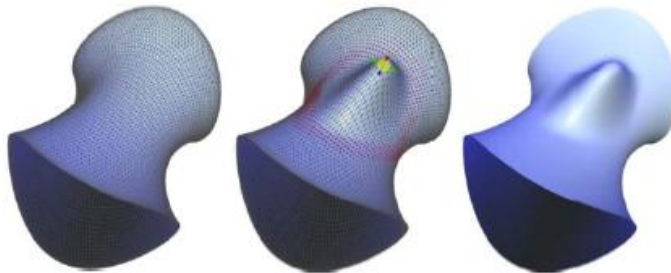
Surface-based deformation

Métodos lineales

- (2D) As rigid as possible shape manipulation



- Triangle gradient methods
- Laplacian surface editing

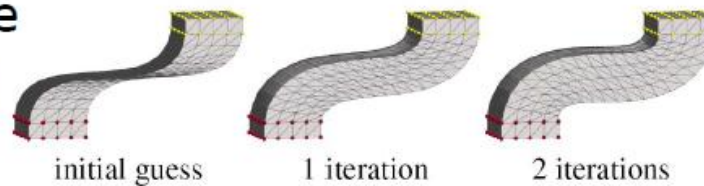


Deformadores

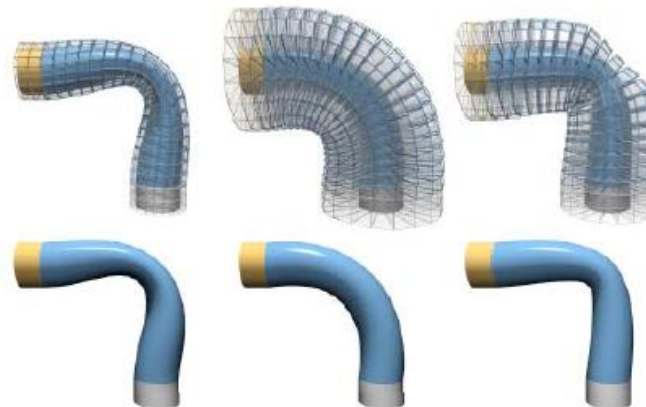
Surface-based deformation

Métodos no lineales

- As rigid as possible surface modeling



- PriMo



- Mesh Puppetry



Deformadores

Surface-based deformation

Resumen

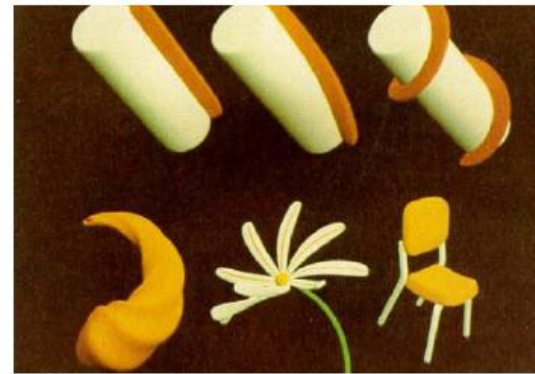
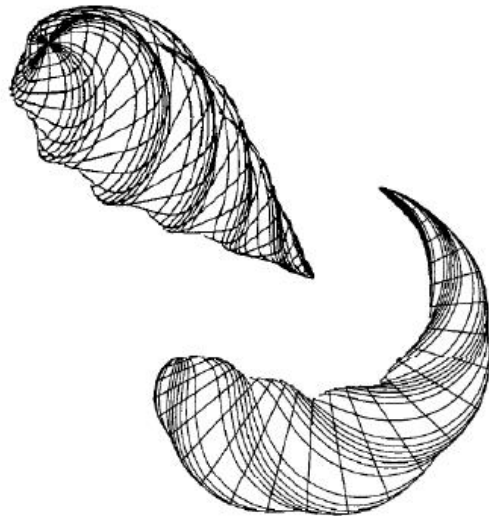
- ❑ La **función objetivo** opera sobre los vértices de la malla (geometría a deformar)
- ❑ La complejidad depende del tamaño de la malla
- ❑ **Métodos lineales:**
 - Resuelven sistemas lineales globales sobre la malla
 - A veces se producen comportamientos erróneos en la deformación
- ❑ **Métodos no lineales:**
 - Menos errores y problemas, pero lento en el proceso de deformación y complejos de implementar

Deformadores

Space deformation

Primeros trabajos en deformación de formas mediante computador

- Global and local deformation of solids [Barr 1984]

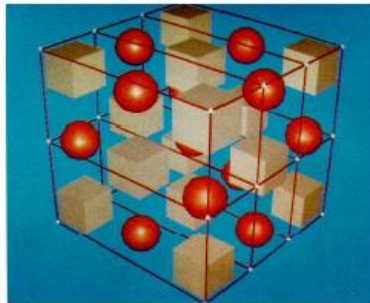


Deformadores

Space deformation

Primeros trabajos en deformación de formas mediante computador

- Free form deformations [Sederberg and Parry 1986]
 - Uses trivariate tensor product polynomial basis



- Can be designed to be volume preserving



$$\mathbf{F}(x,y,z) = (F(x,y,z), G(x,y,z), H(x,y,z))$$

then the Jacobian is the determinant

$$Jac(\mathbf{F}) = \begin{vmatrix} \frac{\partial F}{\partial x} & \frac{\partial F}{\partial y} & \frac{\partial F}{\partial z} \\ \frac{\partial G}{\partial x} & \frac{\partial G}{\partial y} & \frac{\partial G}{\partial z} \\ \frac{\partial H}{\partial x} & \frac{\partial H}{\partial y} & \frac{\partial H}{\partial z} \end{vmatrix}$$

Deformadores

Space deformation

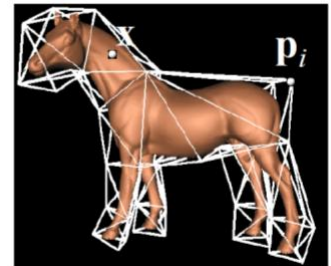
Idea básica

- ❑ Se determina un conjunto de **coordenadas** (\mathbf{w}_i) para todos los puntos del espacio \mathbb{R}^d en base a los vértices de la **estructura de control**
 - Cada punto \mathbf{x} de la geometría se representa como la suma ponderada (\mathbf{w}_i) de los vértices \mathbf{p}_i de la estructura de control

$$\mathbf{x} = \sum_{i=1}^k w_i(\mathbf{x}) \cdot \mathbf{p}_i$$

- Cuando la **estructura de control cambia**, sin alterar las coordenadas, se obtiene el valor para los nuevos puntos de la geometría original \mathbf{x}' (deformación)

$$\mathbf{x}' = \sum_{i=1}^k w_i(\mathbf{x}) \cdot \mathbf{p}'_i$$

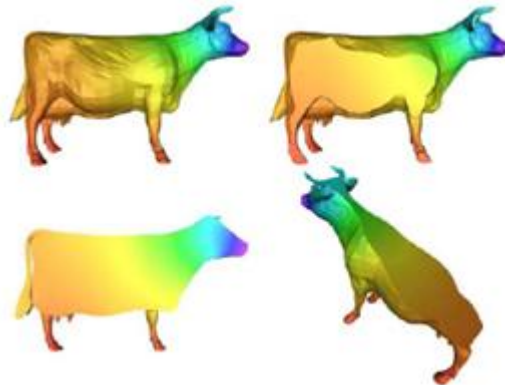


Deformadores

Space deformation

Idea básica

- ❑ Se determina un conjunto de coordenadas (w_i) para todos los puntos del espacio R^d en base a los vértices de la **estructura de control**
 - Las coordenadas varían de forma suave y garantizan **suavidad** en el interior del volumen

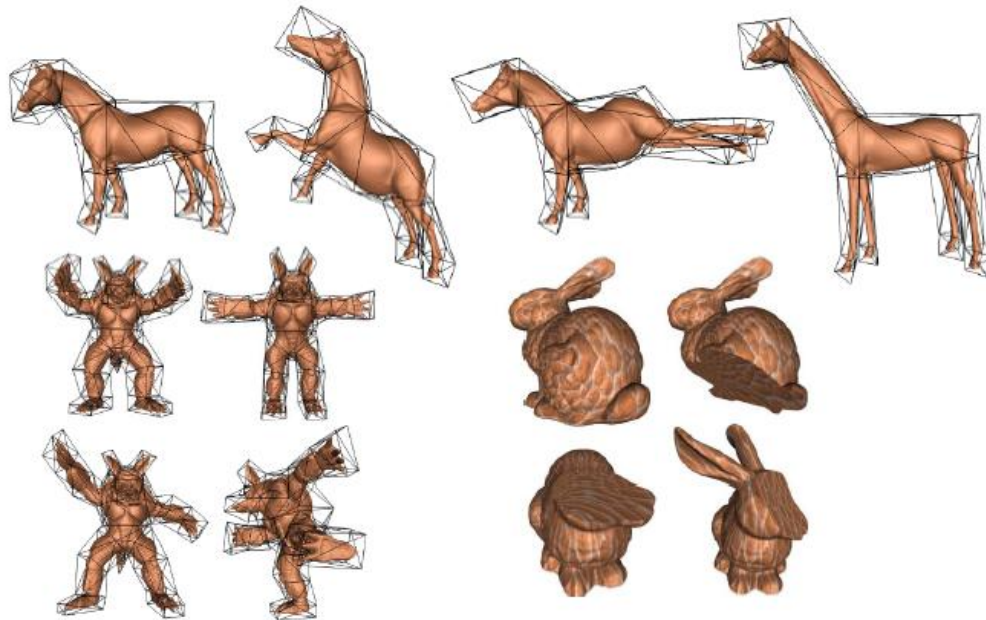


Deformadores

Space deformation

Ejemplos

- Mean value coordinates for closed tri meshes

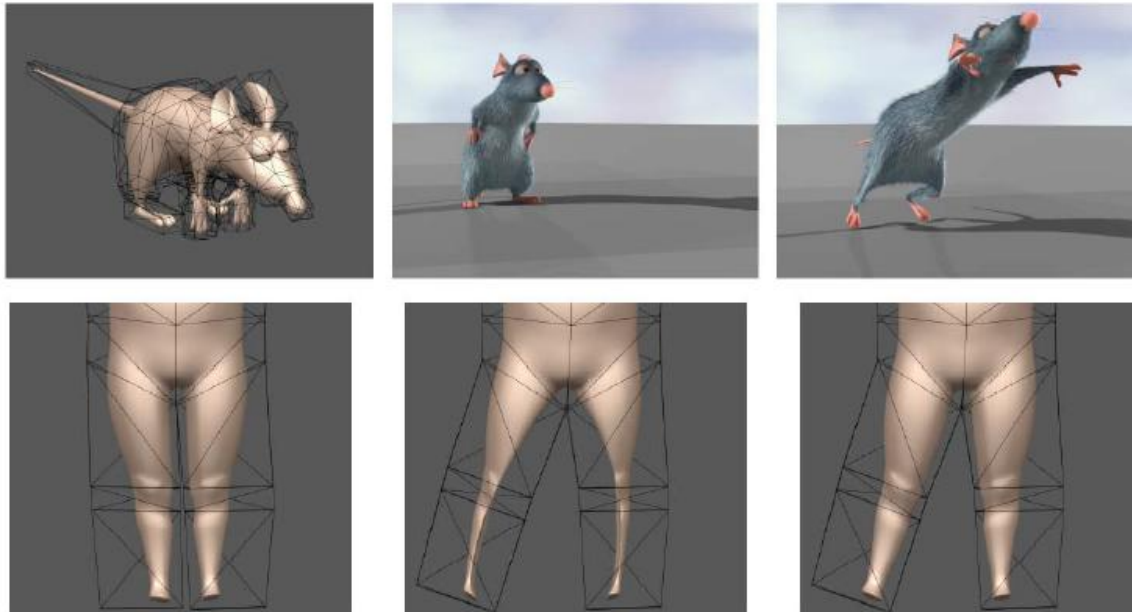


Deformadores

Space deformation

Ejemplos

- Harmonic coordinates

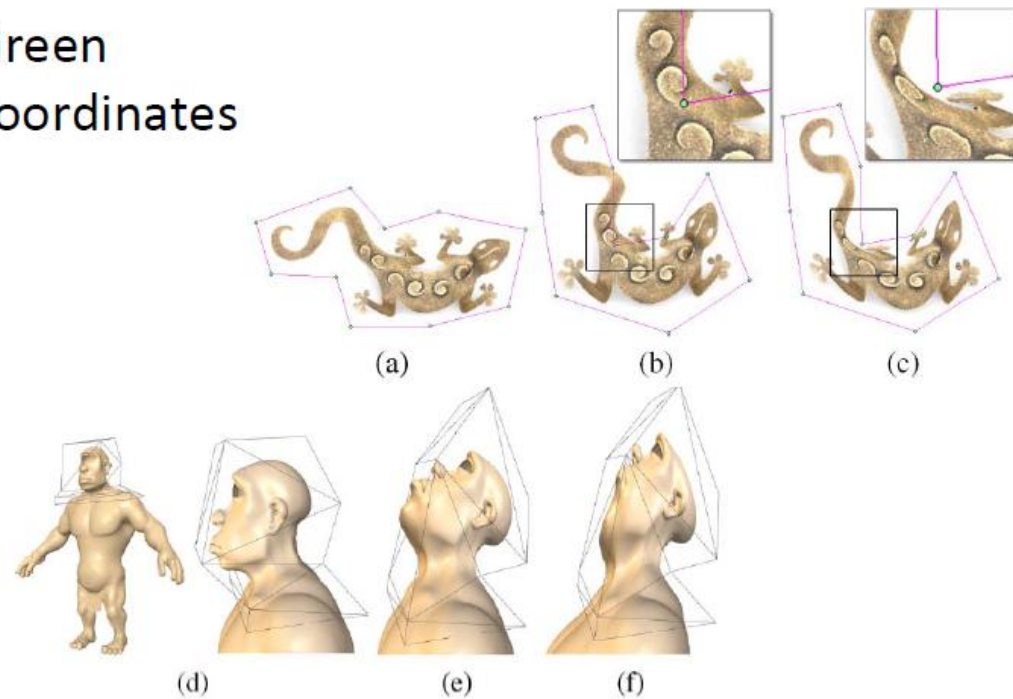


Deformadores

Space deformation

Ejemplos

- Green coordinates



Deformadores

Space deformation

Conceptos

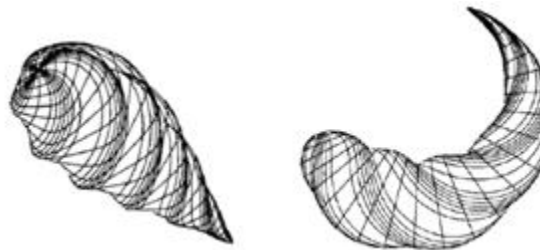
- Función de desplazamiento definida en el espacio

$$\mathbf{d} : \mathbb{R}^3 \rightarrow \mathbb{R}^3$$

- Se evalúa la función para cada punto de la geometría y se calcula su nueva posición

$$\mathbf{x}' = \mathbf{x} + \mathbf{d}(\mathbf{x})$$

Twist warp
Global and local deformation of solids
[A. Barr, SIGGRAPH 84]



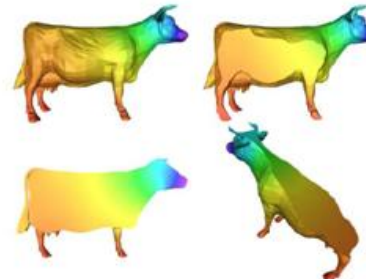
Deformadores

Space deformation

FFD (freeform deformations)

- Se especifica un **objeto de control** que deforma el espacio
- El usuario modifica el **objeto de control** y genera desplazamientos \mathbf{d}_i para cada **punto de control** del mismo
- Los desplazamientos son interpolados en el espacio usando “basis functions”

$$B_i(\mathbf{x}) : \mathbb{R}^3 \rightarrow \mathbb{R}$$
$$\mathbf{d}(\mathbf{x}) = \sum_{i=1}^k \mathbf{d}_i B_i(\mathbf{x})$$



- Las “basis functions” deben ser suaves para garantizar resultados estéticamente correctos

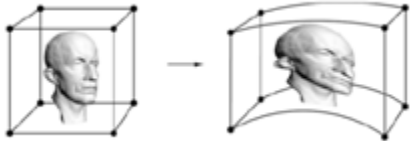
Deformadores

Space deformation

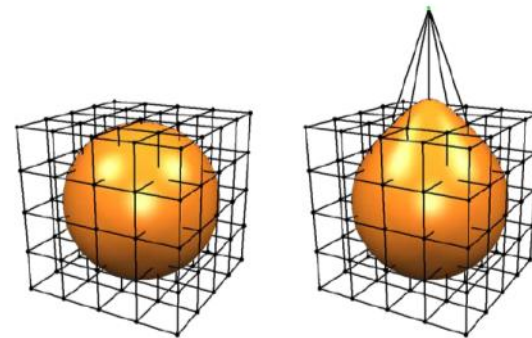
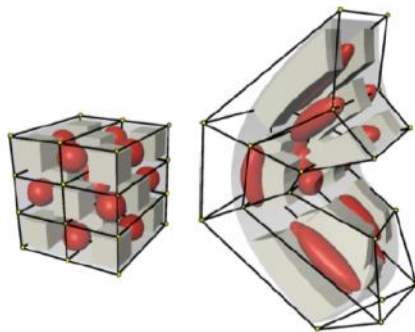
FFD (freeform deformations)

Trivariate Tensor Product Bases [Sederberg and Parrry 86]

- Objeto de control = **rejilla** (lattice)
- Las “basis functions” $B_i(\mathbf{x})$ son “trivariate tensor-product splines”:



$$\mathbf{d}(x, y, z) = \sum_{i=0}^l \sum_{j=0}^m \sum_{k=0}^n \mathbf{d}_{ijk} N_i(x) N_j(y) N_k(z)$$



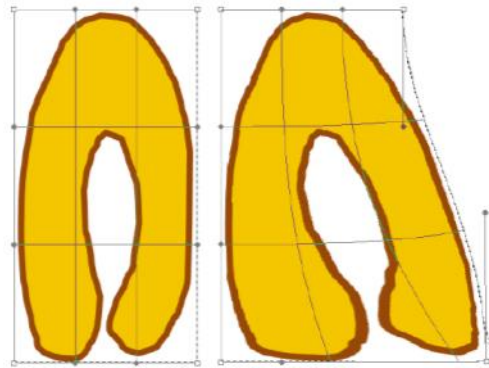
Deformadores

Space deformation

FFD (freeform deformations)

“Lattice” como objeto de control

- **Difícil** de manipular
- El objeto de control **no tiene relación directa** con la forma de la geometría a editar (deformar)
- Existen **vértices interiores** del objeto de control que dificultan la deformación de la geometría

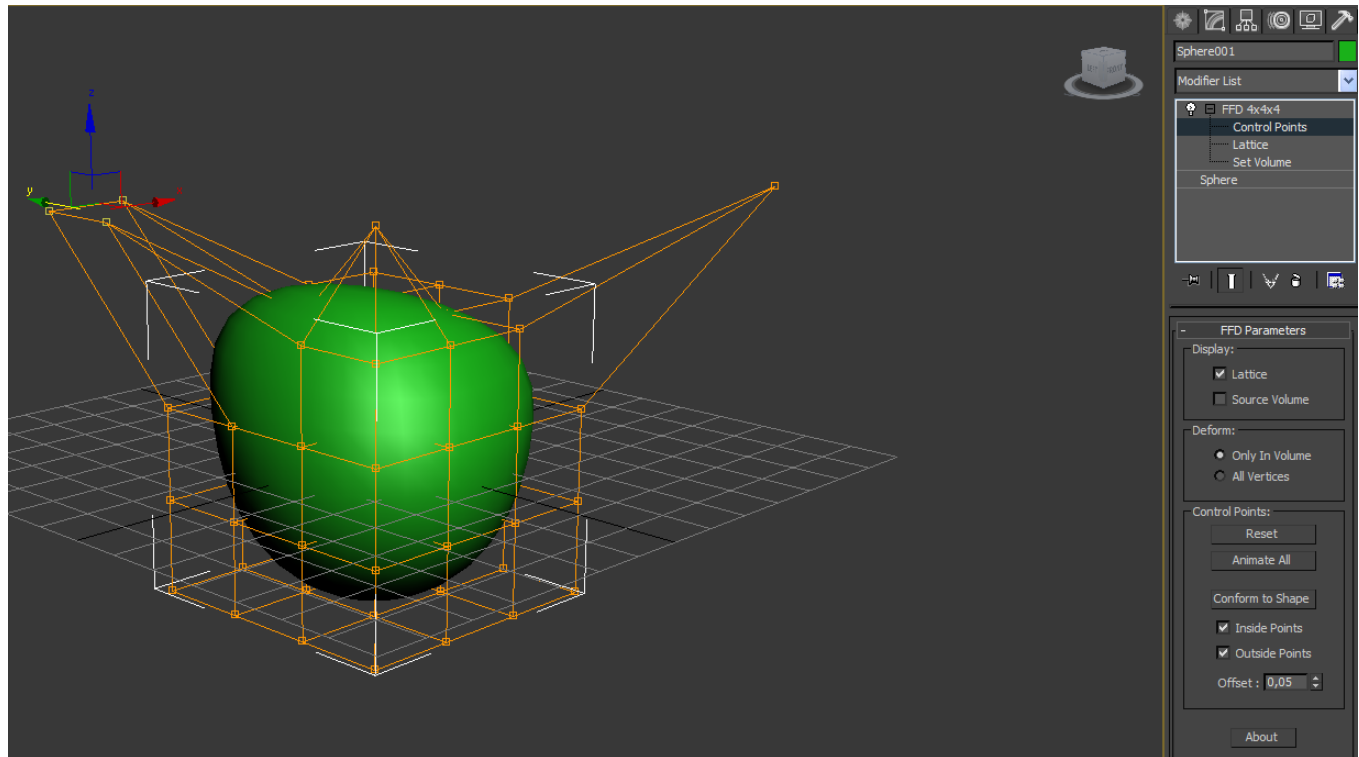


Transformaciones geométricas

Modifiers

3D Studio Max. Object-space modifiers

- FFD 2x2x2
- FFD 3x3x3
- FFD 4x4x4
- FFD (box)
- FFD (cyl)



Deformadores

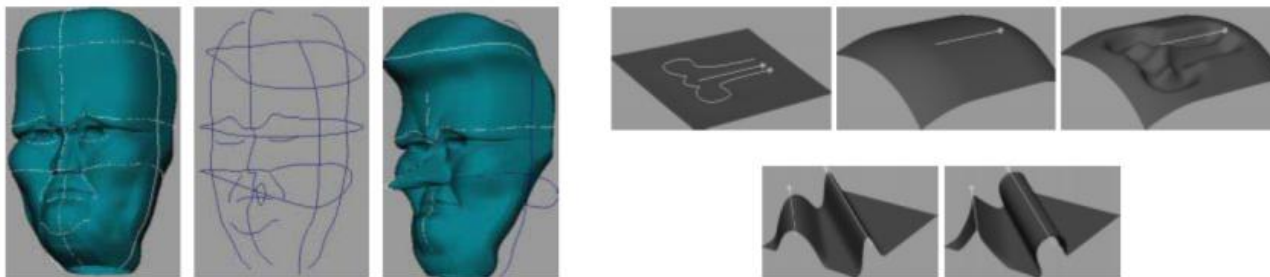
Space deformation

Wires

Wires

[Singh and Fiume 98]

- Los **objetos de control** son **curvas** 3D arbitrarias
- Se pueden situar las curvas de control en lugares determinados para editar (deformar) el objeto en cuestión
- Se produce una deformación suave en torno a la curva de control en función de la **influencia** de ésta sobre el objeto (decrece con respecto a la distancia)



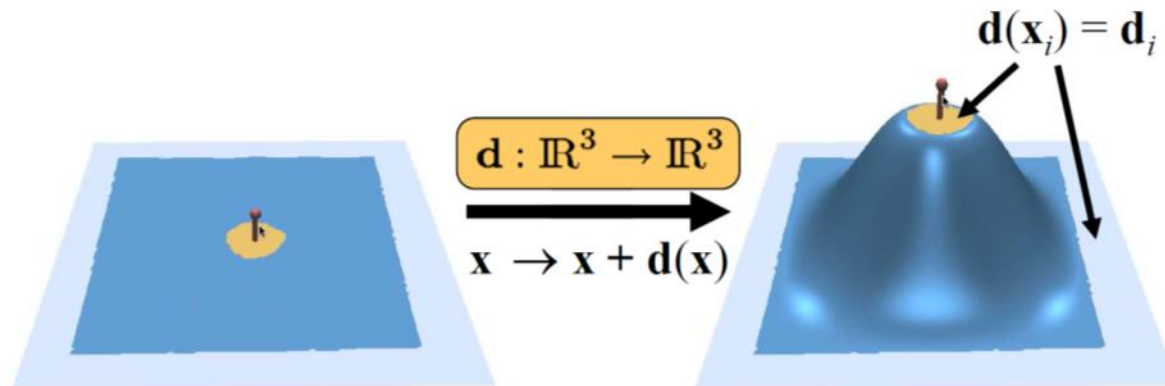
Deformadores

Space deformation

Handle Metaphor

Handle Metaphor [RBF, Botsch and Kobbelt 05]

- Función desplazamiento $\mathbf{d}(\mathbf{x})$
- Interpolación en función de determinadas restricciones
- Suavidad y deformación intuitiva



Deformadores

Space deformation

Handle Metaphor

Radial Basis Functions [RBF, Botsch and Kobbelt 05]

- La deformación se representa por **RBFs**

$$\mathbf{d}(\mathbf{x}) = \sum_j \mathbf{w}_j \cdot \varphi(\|\mathbf{c}_j - \mathbf{x}\|) + \mathbf{p}(\mathbf{x})$$

- Triharmonic basis function $\varphi(r) = r^3$
 - C^2 boundary constraints
 - Highly smooth / fair interpolation

$$\int_{\mathbb{R}^3} \|\mathbf{d}_{xxx}\|^2 + \|\mathbf{d}_{xyy}\|^2 + \dots + \|\mathbf{d}_{zzz}\|^2 dx dy dz \rightarrow \min$$

- Se resuelven *sistemas lineales* para \mathbf{w}_j y \mathbf{p}

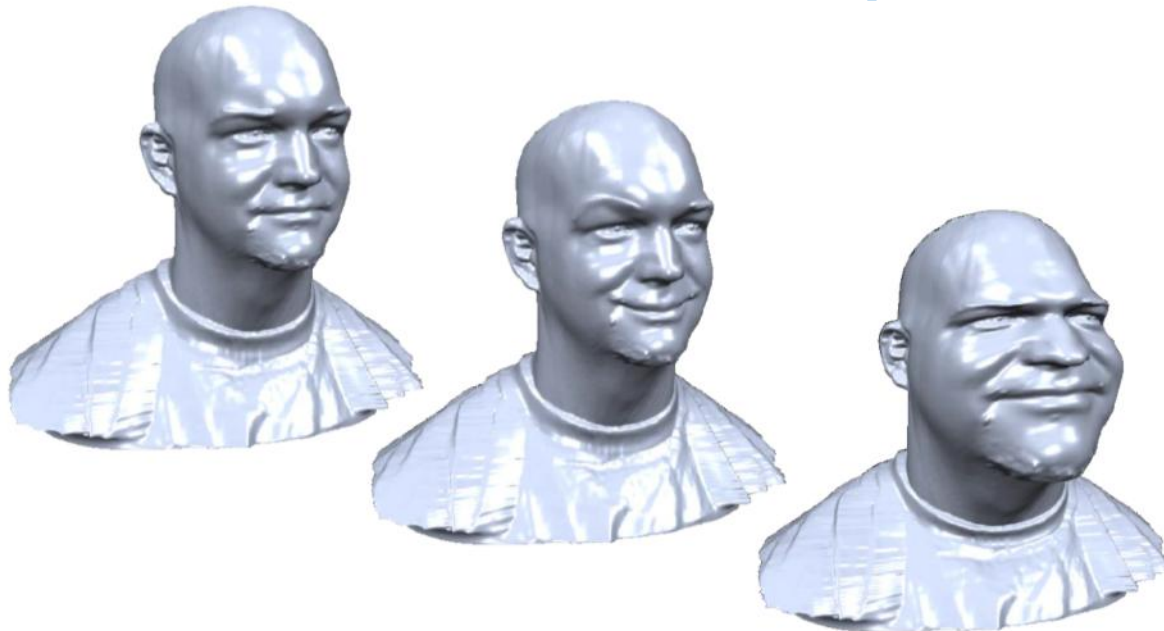


Deformadores

Space deformation

Handle Metaphor

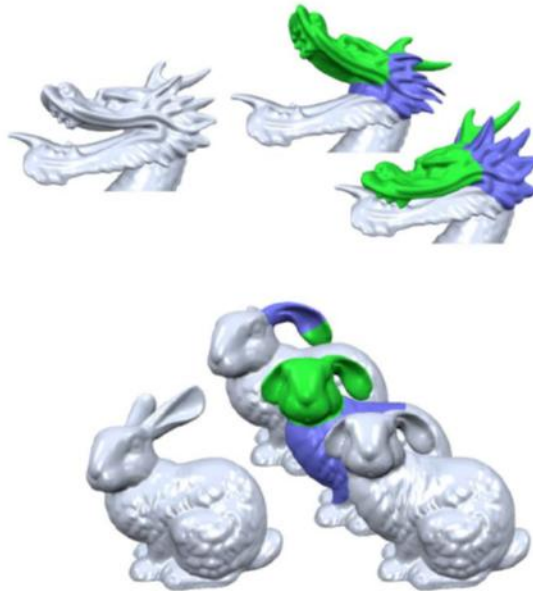
Local & Global Deformations
[RBF, Botsch and Kobbelt 05]



Deformadores

Space deformation

Handle Metaphor



Local & Global Deformations
[RBF, Botsch and Kobbelt 05]

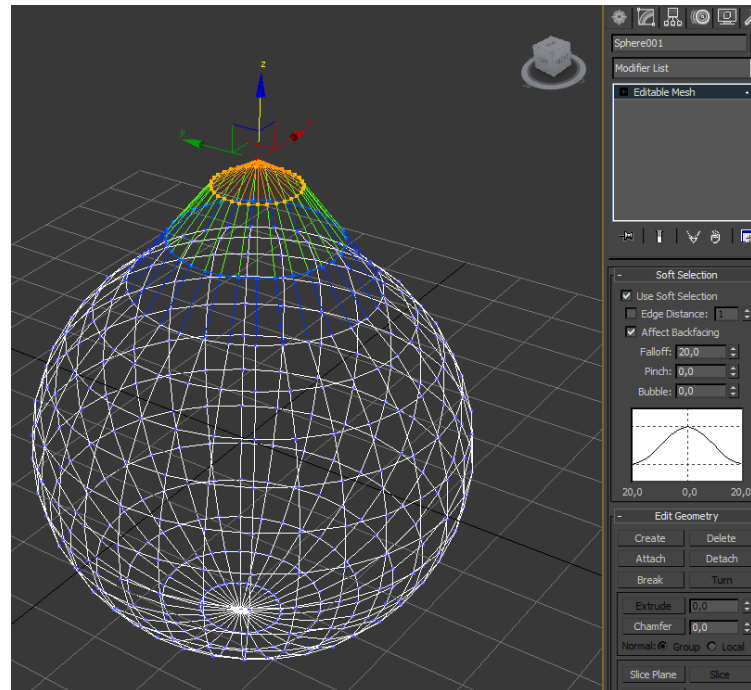


1M vertices
movie

Deformadores

Space deformation

3D Studio Max. Editable Mesh – Soft Selection

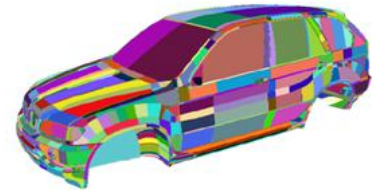


Deformadores

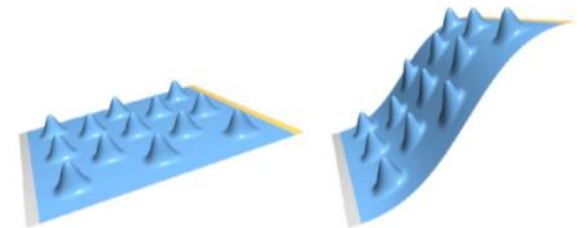
Space deformation

Resumen

- Trabaja con **cualquier tipo de geometría** (tipo representación)
 - Meshes (también non-manifold)
 - Point sets
 - Polygonal soup
 - ...
- La **complejidad** depende directamente del **objeto de control**, no del objeto a deformar
- Los detalles locales de la superficie deformada pueden ser alterados. **No preserva detalle local.**



- 3M triangles
- 10k components
- Not oriented
- Not manifold



Deformadores

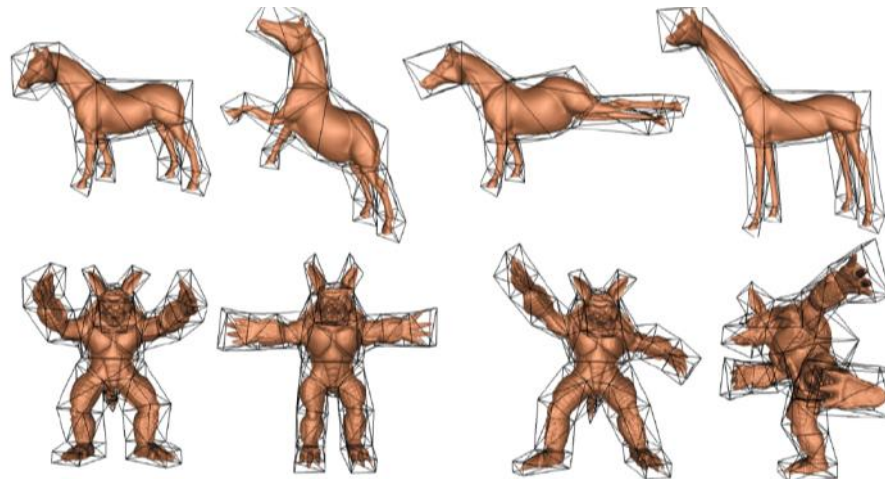
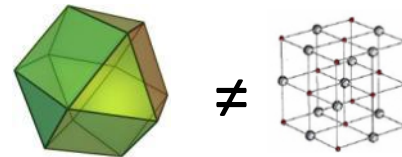
Space deformation

Cage-based

Cage-based deformations

[MVC, Floater 05]

- **Cage** = **jaula**, suele ser una **representación primaria** del objeto a deformar
- Es un **polihedro**, no una **rejilla** (lattice)



Deformadores

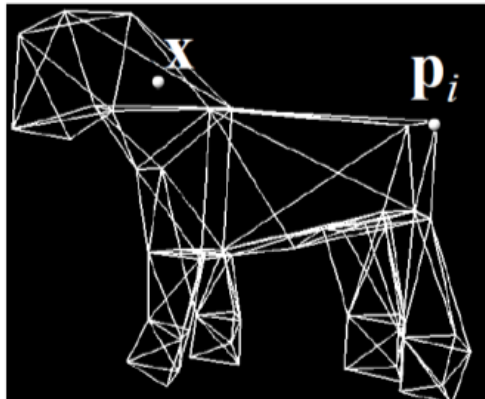
Space deformation

Cage-based

Cage-based deformations

[MVC, Floater 05]

- Cada punto \mathbf{x} en el espacio es representado a partir de la suma ponderada de los elementos de la jaula usando para ello funciones de coordenadas (**coordinate functions**)



$$\mathbf{x} = \sum_{i=1}^k w_i(\mathbf{x}) \mathbf{p}_i$$

Deformadores

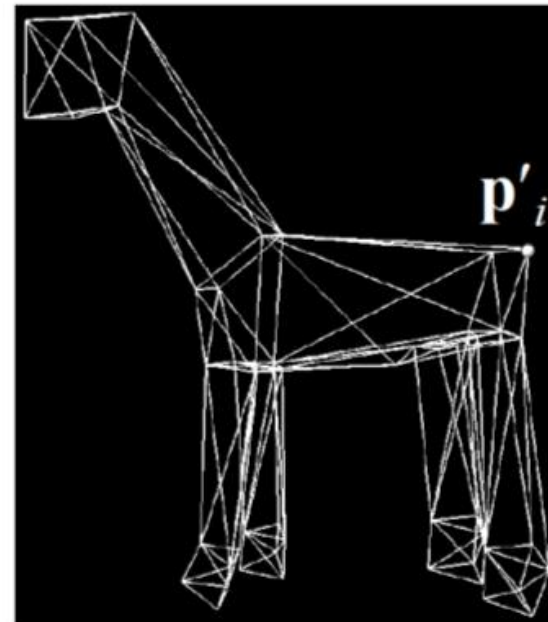
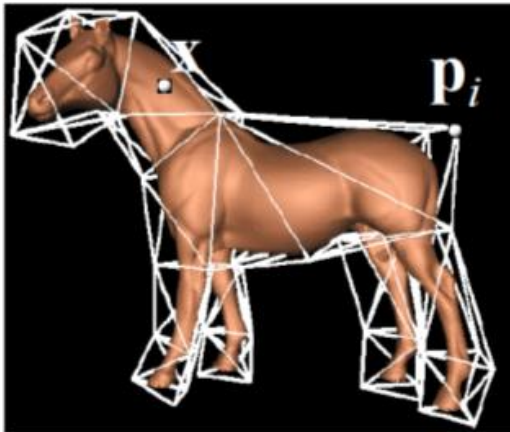
Space deformation

Cage-based

- Cuando se modifican los puntos p_i de la jaula a p'_i ...

Cage-based deformations

[MVC, Floater 05]



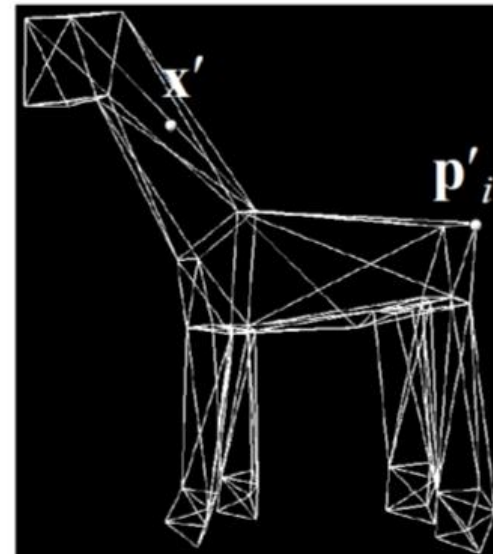
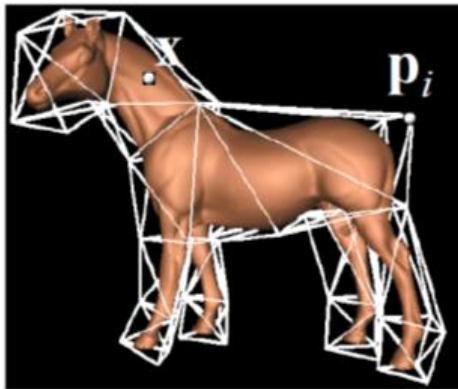
Deformadores

Space deformation

Cage-based

- Cada punto \mathbf{x} de la geometría a deformar **transforma** en \mathbf{x}'
- k es el número de vértices de la jaula

$$\mathbf{x}' = \sum_{i=1}^k w_i(\mathbf{x}) \mathbf{p}'_i$$



Cage-based deformations

[MVC, Floater 05]

Deformadores

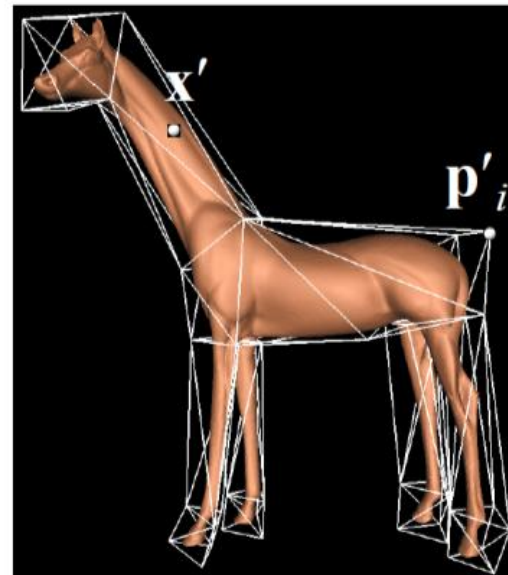
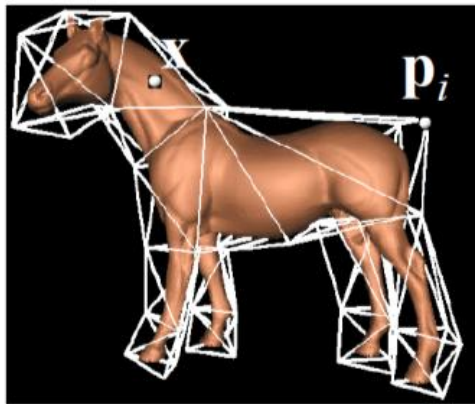
Space deformation

Cage-based

Cage-based deformations
[MVC, Floater 05]

- Dando como resultado la deformación de la geometría...

$$\mathbf{x}' = \sum_{i=1}^k w_i(\mathbf{x}) \mathbf{p}'_i$$

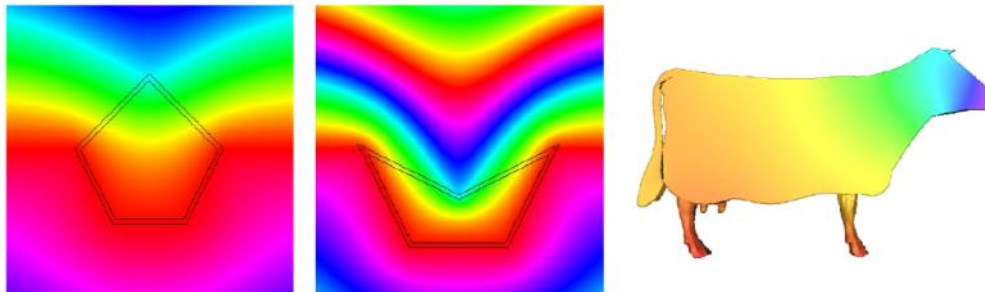


Deformadores

Space deformation

Coordinate Functions (ponderación)

- **Mean-value coordinates** (Floater, Ju et al. 2005)
 - Generalización de las coordenadas baricéntricas
 - Obtención de las coordenadas $w_i(\mathbf{x})$

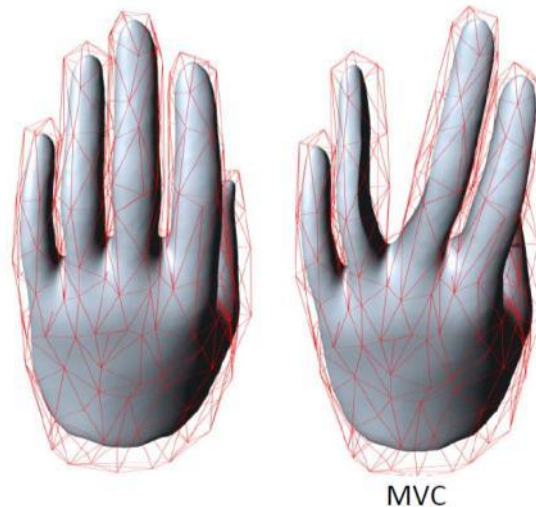


Deformadores

Space deformation

Coordinate Functions

- **Mean-value coordinates** (Floater, Ju et al. 2005)
 - No necesariamente positivas en dominios no-convexos

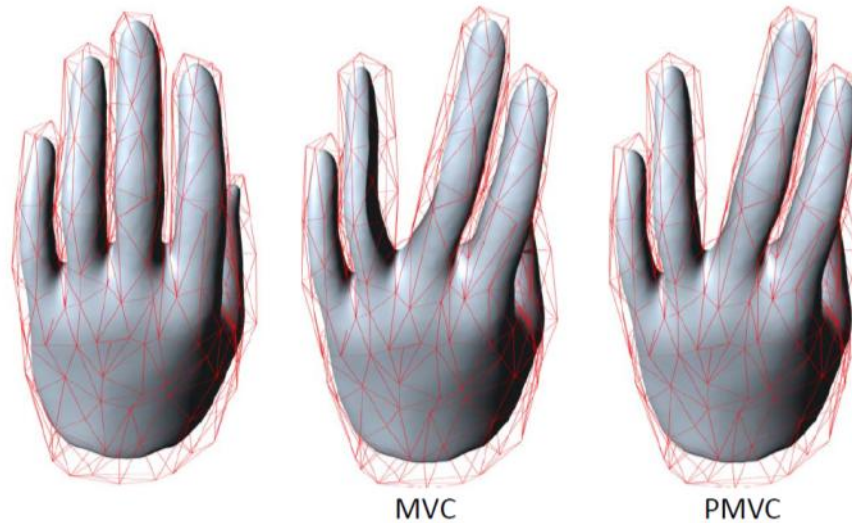


Deformadores

Space deformation

Coordinate Functions

- **Positive Mean-value coordinates PMVC** (Lipman et al. 2007)
 - Garantiza coordenadas positivas ($w_i > 0$)

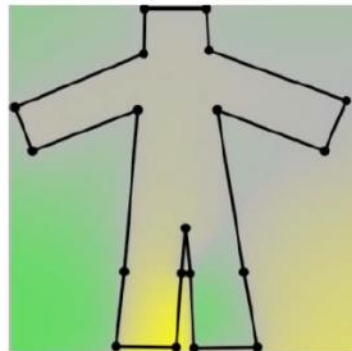


Deformadores

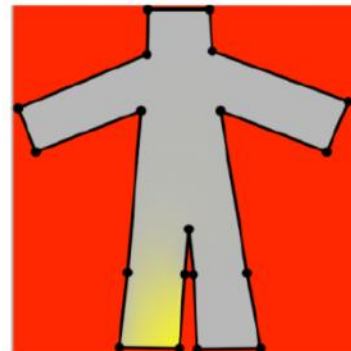
Space deformation

Coordinate Functions

- **Harmonic coordinates** (Joshi et al. 2007)
 - Funciones armónicas $h_i(\mathbf{x})$ para cada vértice \mathbf{p}_i de la jaula
 - Resolver $\Delta \mathbf{h} = \mathbf{0}$; restricción: h_i lineal en los contornos
 $h_i(\mathbf{p}_j) = \delta_{ij}$



MVC



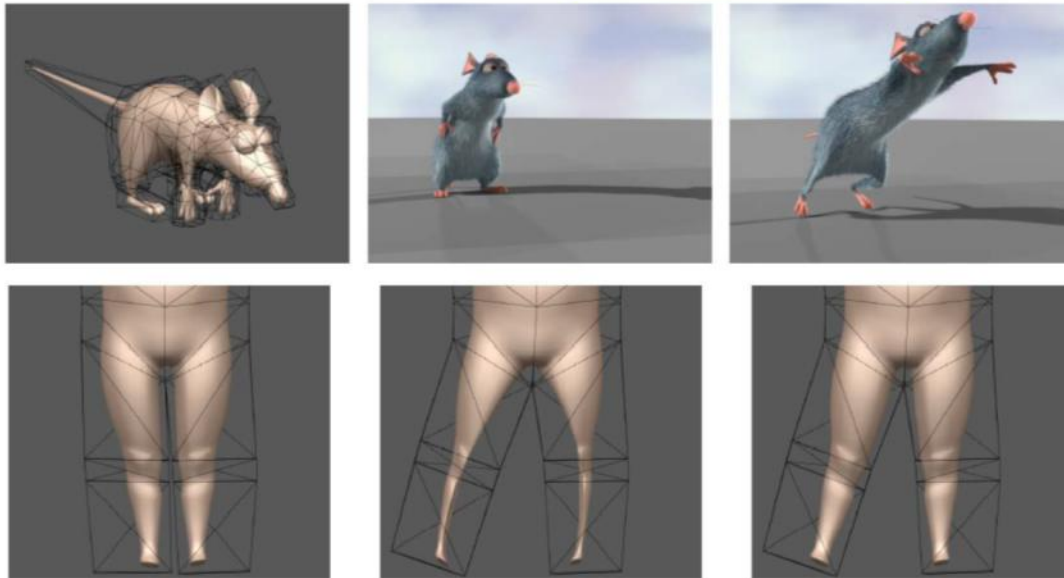
HC

Deformadores

Space deformation

Coordinate Functions

- Harmonic coordinates ([Joshi et al. 2007](#))

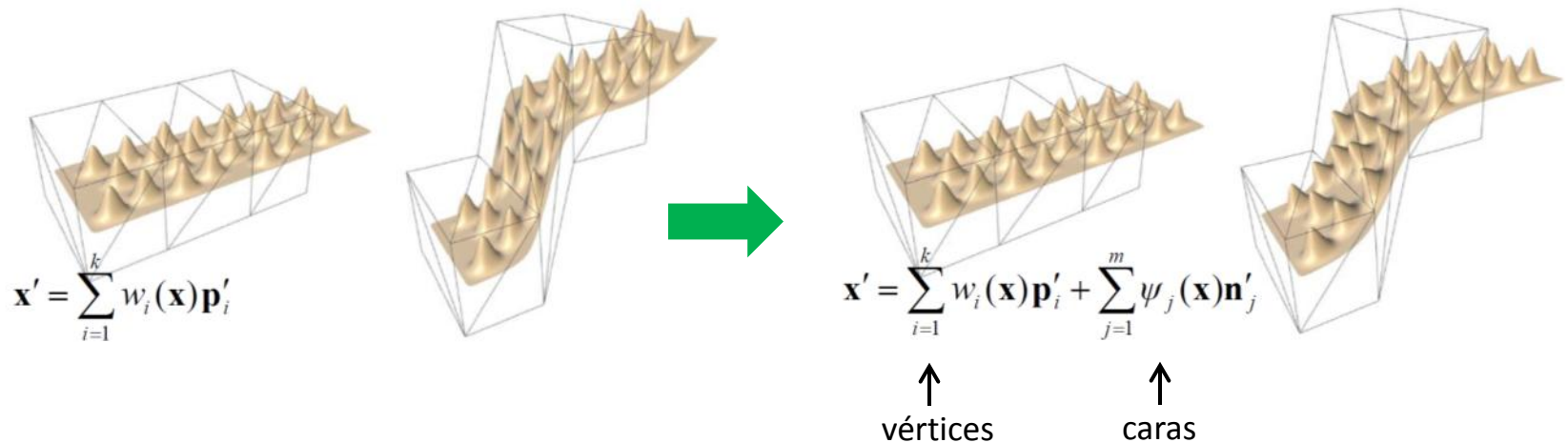


Deformadores

Space deformation

Coordinate Functions

- **Green coordinates** (Lipman et al. 2008)
 - Incluyen en el cálculo de las coordenadas \mathbf{w}_i información sobre las **caras** de la jaula

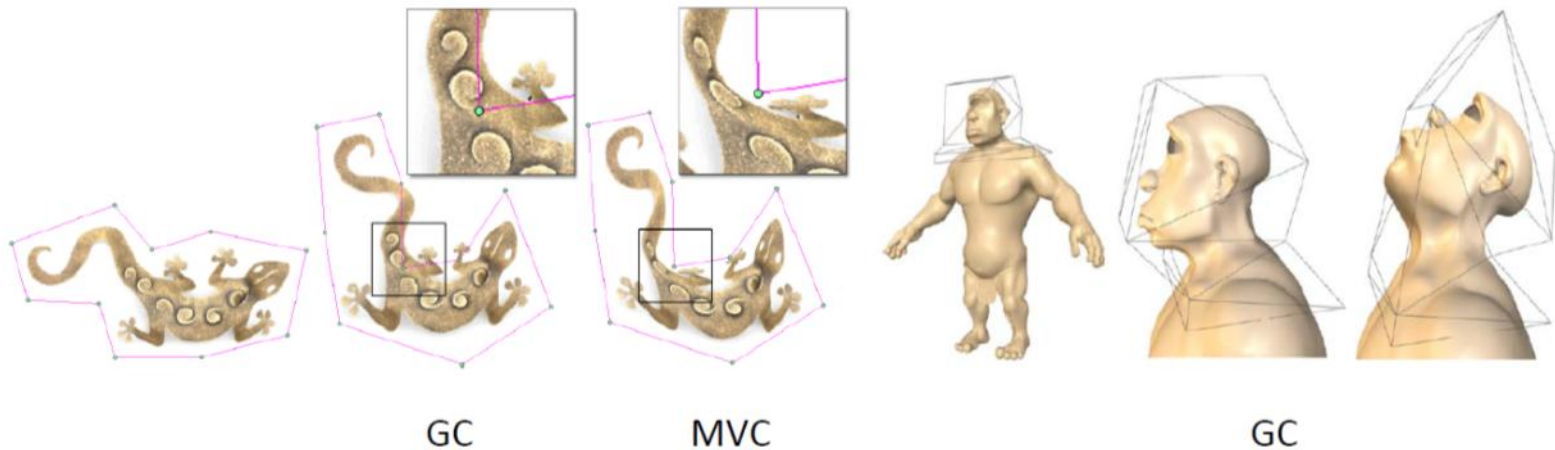


Deformadores

Space deformation

Coordinate Functions

- **Green coordinates** (Lipman et al. 2008)
 - Aplicación 2D y 3D



Deformadores

Space deformation

Coordinate Functions

Alternative interpretation in 2D via holomorphic functions and extension to point handles : [Weber et al. Eurographics 2009](#)



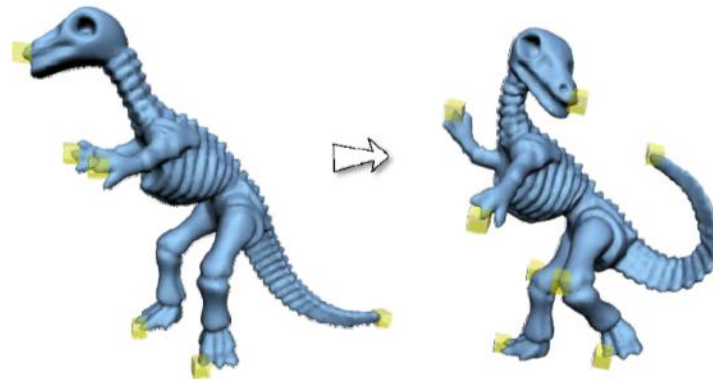
Deformadores

Space deformation

Nonlinear Space Deformations



- Involve nonlinear optimization
- Enjoy the advantages of space warps
- Additionally, have shape-preserving properties

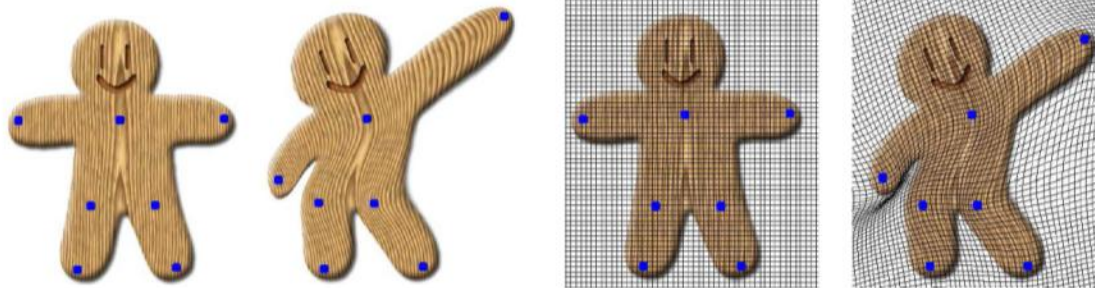


Deformadores

Space deformation

AS-Rigid-As-Possible Deformations Moving-Least-Squares (MLS) approach [Schaefer et al. 2006]

- Points or segments as control objects
- First developed in 2D and later extended to 3D by Zhu and Gortler (2007)



Deformadores

Space deformation

AS-Rigid-As-Possible Deformations

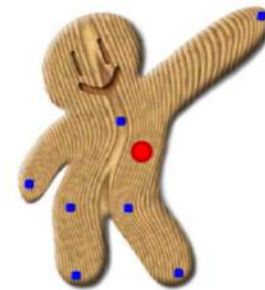
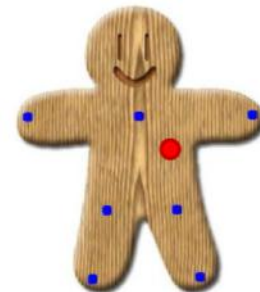
Moving-Least-Squares (MLS) approach [Schaefer et al. 2006]

- Attach an affine transformation to each point $\mathbf{x} \in \mathbb{R}^3$:

$$A_{\mathbf{x}}(\mathbf{p}) = M_{\mathbf{x}}\mathbf{p} + \mathbf{t}_{\mathbf{x}}$$

- The space warp:

$$\mathbf{x} \rightarrow A_{\mathbf{x}}(\mathbf{x})$$



Deformadores

Space deformation

AS-Rigid-As-Possible Deformations

Moving-Least-Squares (MLS) approach [Schaefer et al. 2006]

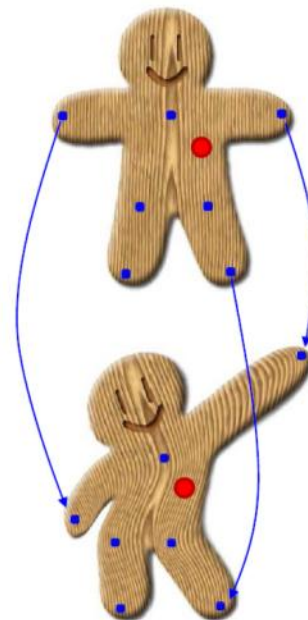
- Handles \mathbf{p}_i are displaced to \mathbf{q}_i
- The local transformation at \mathbf{x} :

$$\mathbf{A}_x(\mathbf{p}) = \mathbf{M}_x \mathbf{p} + \mathbf{t}_x \quad \text{s.t.}$$

$$\sum_{i=1}^k w_i(\mathbf{x}) \|\mathbf{A}_x(\mathbf{p}_i) - \mathbf{q}_i\|^2 \rightarrow \min$$

- The weights depend on \mathbf{x} :

$$w_i(\mathbf{x}) = \|\mathbf{p}_i - \mathbf{x}\|^{-2\alpha}$$



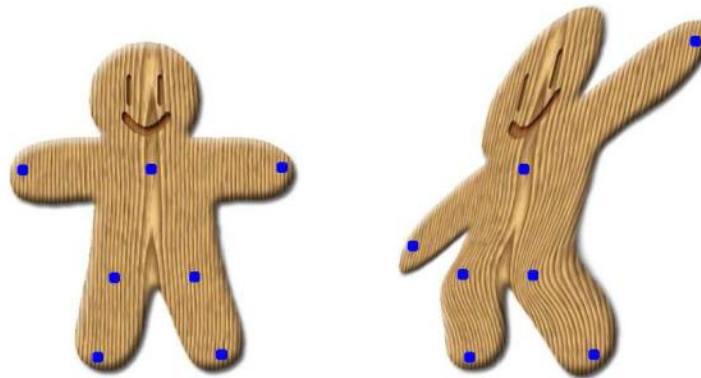
Deformadores

Space deformation

AS-Rigid-As-Possible Deformations

Moving-Least-Squares (MLS) approach [Schaefer et al. 2006]

- No additional restriction on $A_x(\cdot)$ – affine local transformations

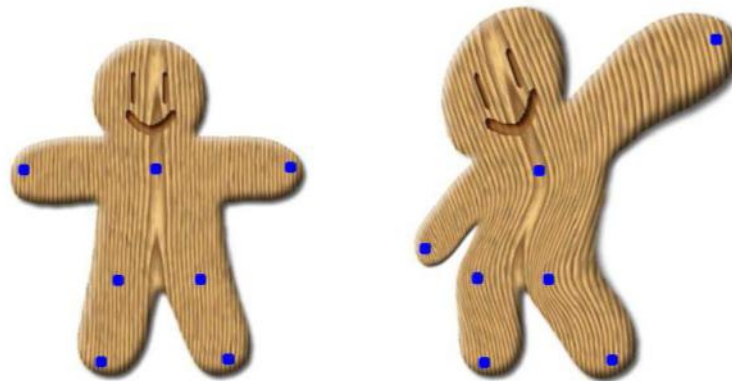


Deformadores

Space deformation

AS-Rigid-As-Possible Deformations Moving-Least-Squares (MLS) approach [Schaefer et al. 2006]

- Restrict $A_x(\cdot)$ to similarity

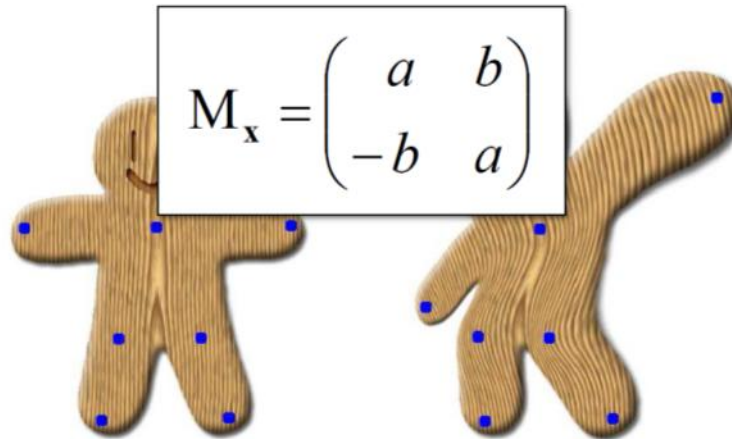


Deformadores

Space deformation

AS-Rigid-As-Possible Deformations Moving-Least-Squares (MLS) approach [Schaefer et al. 2006]

- Restrict $A_x(\cdot)$ to similarity

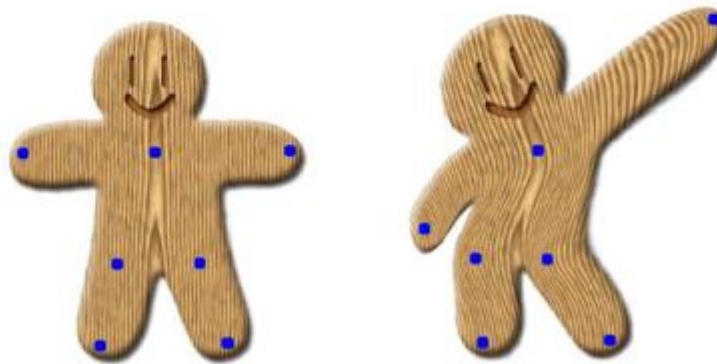


Deformadores

Space deformation

AS-Rigid-As-Possible Deformations Moving-Least-Squares (MLS) approach [Schaefer et al. 2006]

- Restrict $A_x(\cdot)$ to rigid

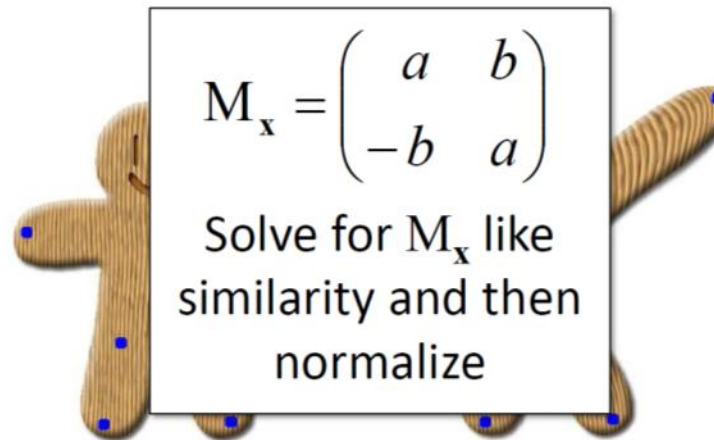


Deformadores

Space deformation

AS-Rigid-As-Possible Deformations Moving-Least-Squares (MLS) approach [Schaefer et al. 2006]

- Restrict $A_x(\cdot)$ to rigid



$$M_x = \begin{pmatrix} a & b \\ -b & a \end{pmatrix}$$

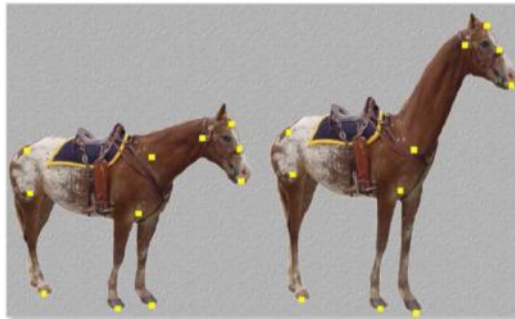
Solve for M_x like
similarity and then
normalize

Deformadores

Space deformation

AS-Rigid-As-Possible Deformations Moving-Least-Squares (MLS) approach [Schaefer et al. 2006]

- Examples



Deformadores

Space deformation

AS-Rigid-As-Possible Deformations Moving-Least-Squares (MLS) approach [Schaefer et al. 2006]

- No linear expression for similarity in 3D
- Instead, can solve for the minimizing rotation

$$\arg \min_{R \in \text{SO}(3)} \sum_{i=1}^k w_i(\mathbf{x}) \|\mathbf{R}\mathbf{p}_i - \mathbf{q}_i\|^2$$

by polar decomposition of the 3×3 covariance matrix

Deformadores

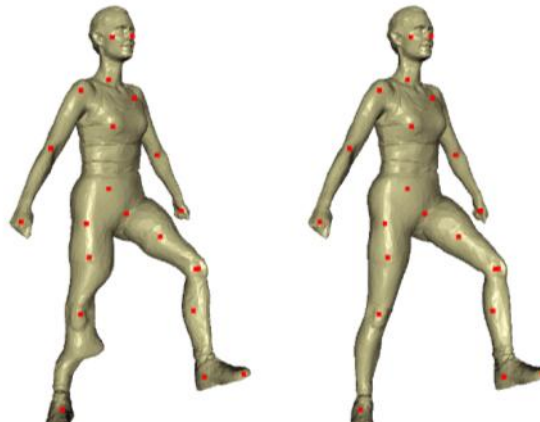
Space deformation

AS-Rigid-As-Possible Deformations

MLS approach – extension to 3D [Zhu & Gortler 2007]

- Zhu and Gortler also replace the Euclidean distance in the weights by “distance within the shape”

$$w_i(\mathbf{x}) = d(\mathbf{p}_i, \mathbf{x})^{-2\alpha}$$

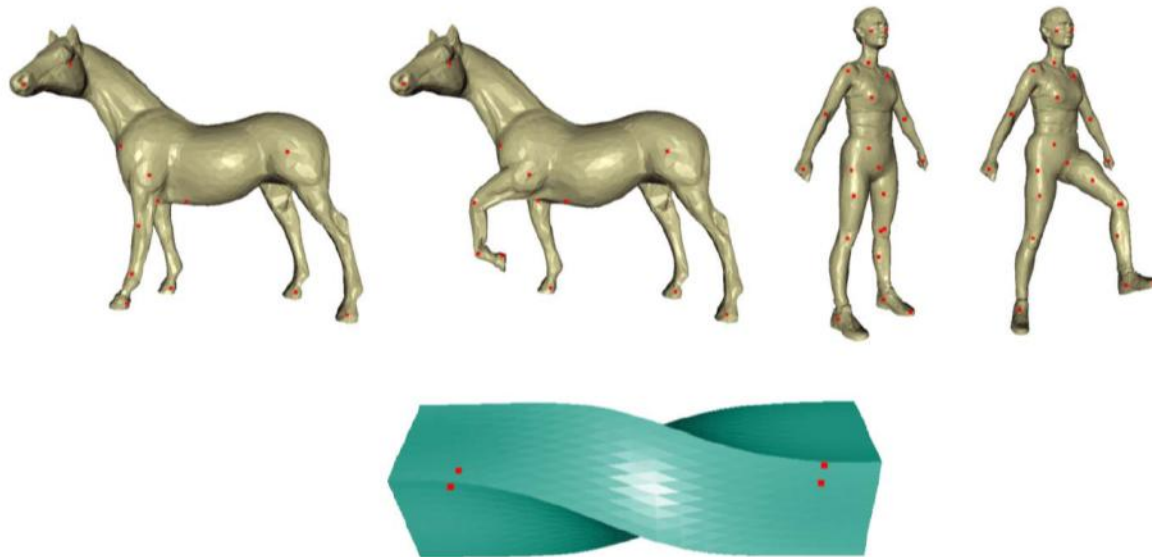


Deformadores

Space deformation

AS-Rigid-As-Possible Deformations MLS approach – extension to 3D [Zhu & Gortler 2007]

- More results



Deformadores

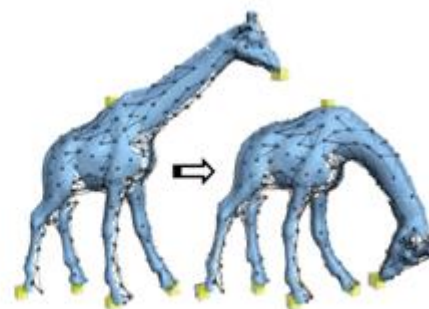
Space deformation

AS-Rigid-As-Possible Deformations Deformation Graph approach [Sumner et al. 2007]

- Surface handles as interface
- Underlying graph to represent the deformation; nodes store rigid transformations
- Decoupling of handles from def. representation



Deformation Graph

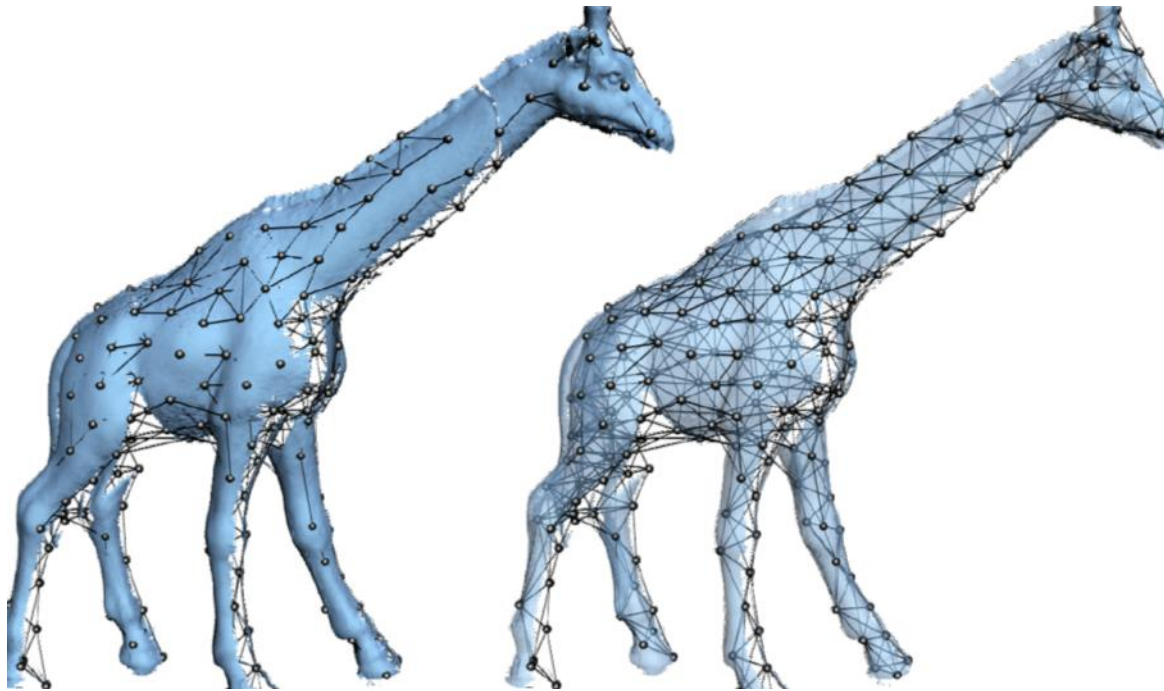


Optimization Procedure

Deformadores

Space deformation

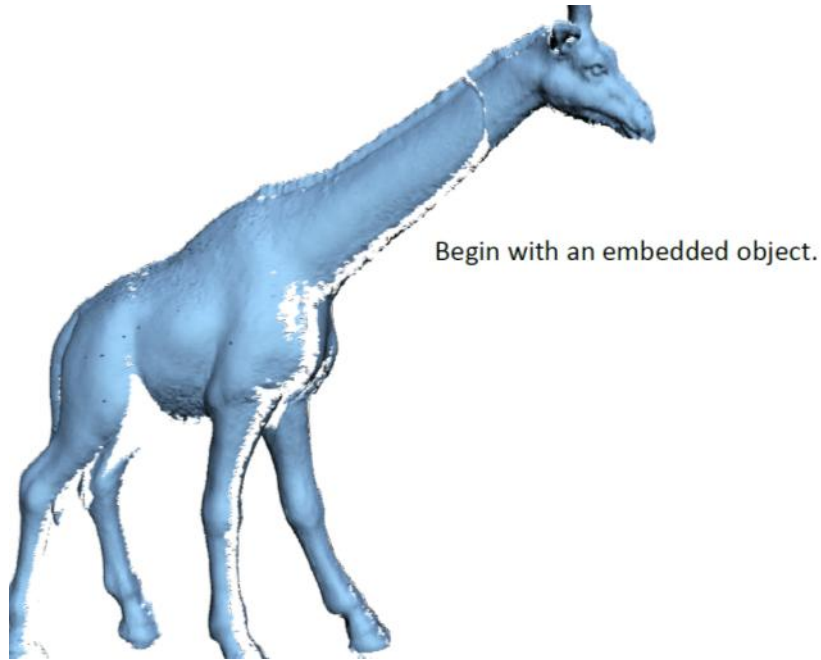
Deformation Graph
[Sumner et al. 2007]



Deformadores

Space deformation

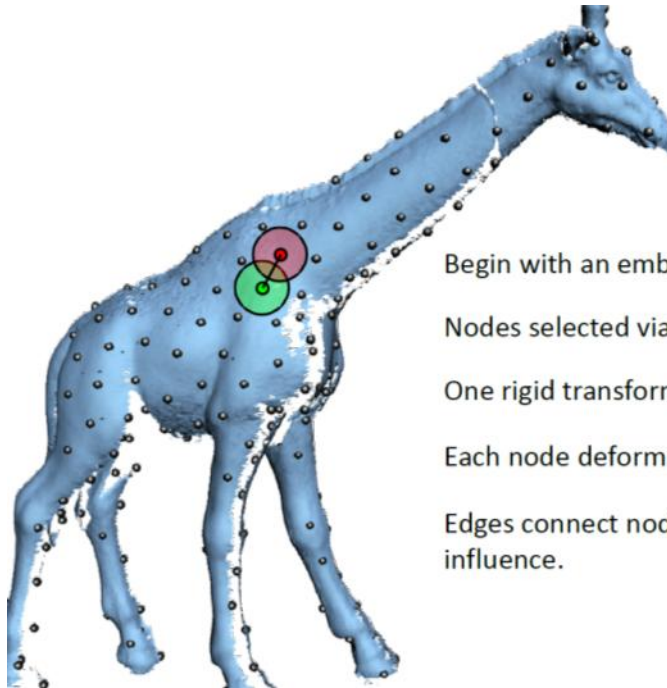
Deformation Graph [Sumner et al. 2007]



Deformadores

Space deformation

Deformation Graph [Sumner et al. 2007]



Begin with an embedded object.

Nodes selected via uniform sampling; located at \mathbf{g}_j

One rigid transformation for each node: $\mathbf{R}_j, \mathbf{t}_j$

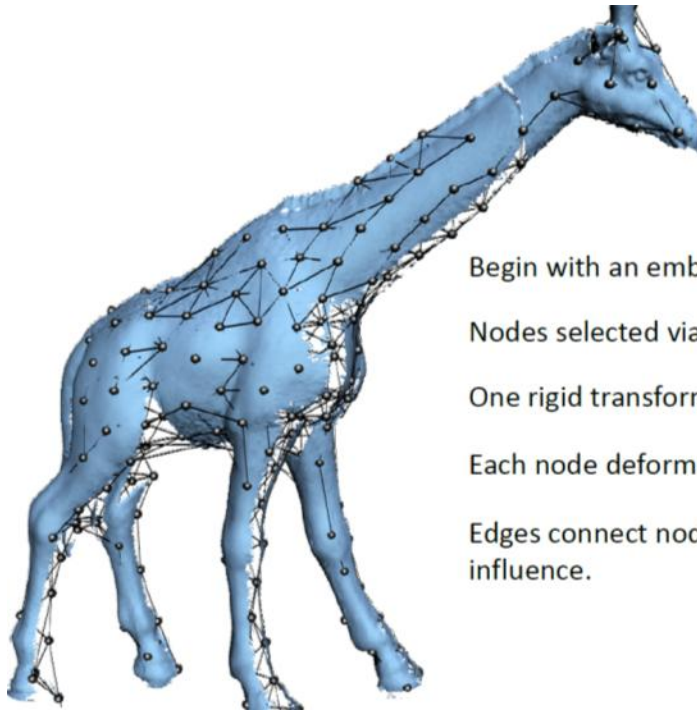
Each node deforms nearby space.

Edges connect nodes of overlapping influence.

Deformadores

Space deformation

Deformation Graph [Sumner et al. 2007]



Begin with an embedded object.

Nodes selected via uniform sampling; located at \mathbf{g}_j

One rigid transformation for each node: $\mathbf{R}_j, \mathbf{t}_j$

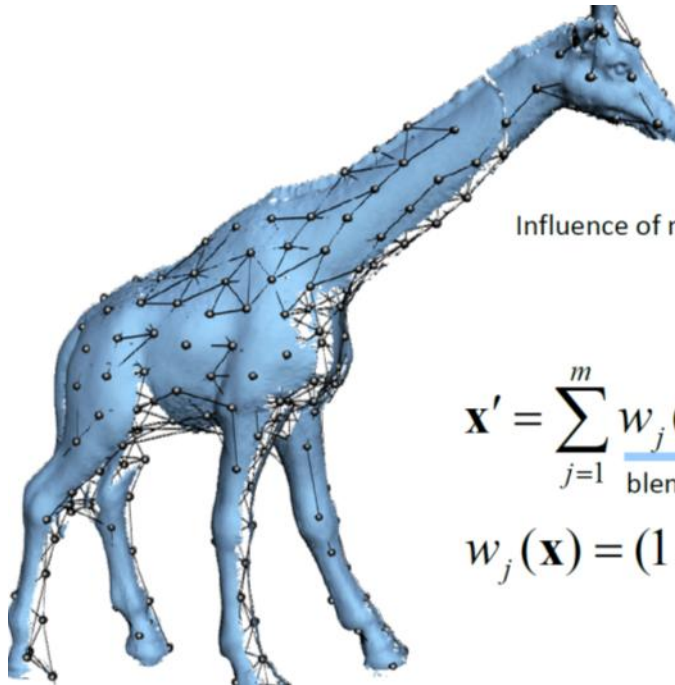
Each node deforms nearby space.

Edges connect nodes of overlapping influence.

Deformadores

Space deformation

Deformation Graph [Sumner et al. 2007]



Influence of nearby transformations is blended.

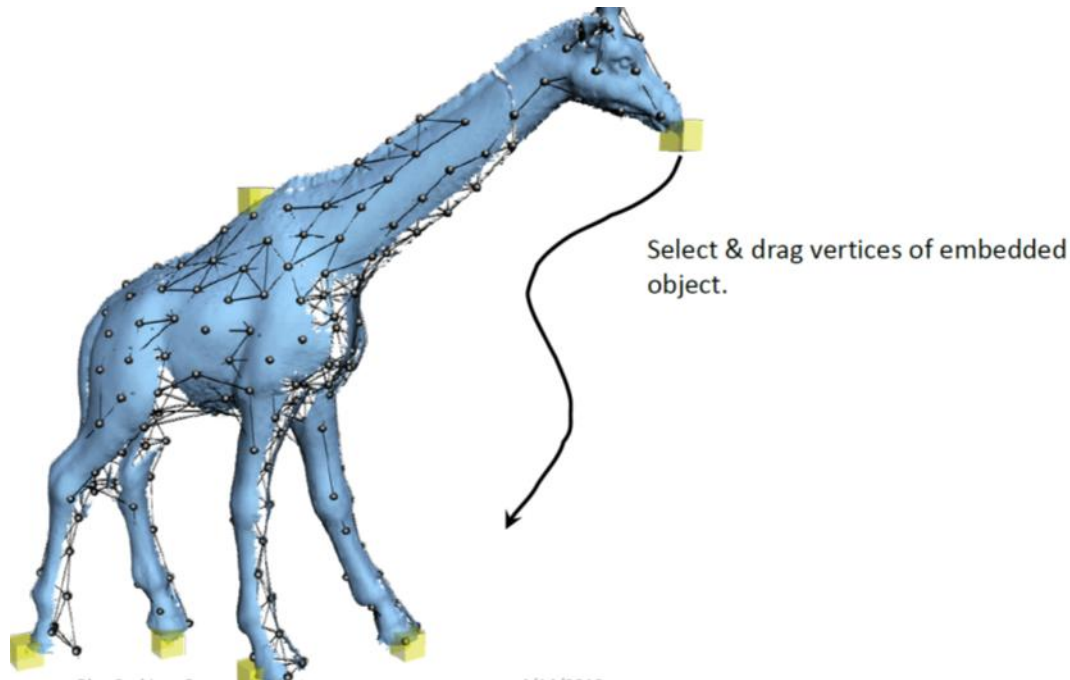
$$\mathbf{x}' = \sum_{j=1}^m \underbrace{w_j(\mathbf{x})}_{\text{blending weights}} \underbrace{[\mathbf{R}_j(\mathbf{x} - \mathbf{g}_j) + \mathbf{g}_j + \mathbf{t}_j]}_{\text{point } \mathbf{x} \text{ transformed by node } j}$$

$$w_j(\mathbf{x}) = (1 - \|\mathbf{x} - \mathbf{g}_j\| / d_{\max})^2$$

Deformadores

Space deformation

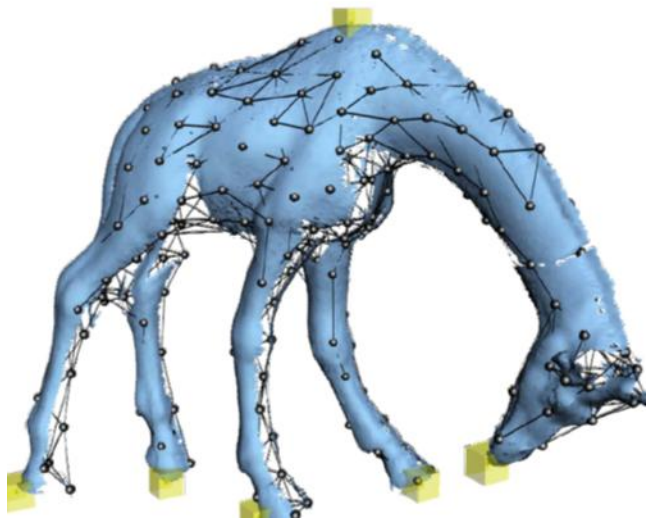
Deformation Graph [Sumner et al. 2007]



Deformadores

Space deformation

Deformation Graph [Sumner et al. 2007]



Select & drag vertices of embedded object.

Optimization finds
deformation parameters R_j, t_j .

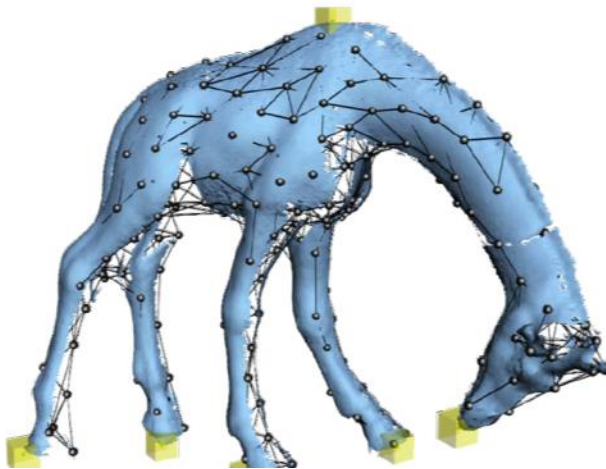
Deformadores

Space deformation

Deformation Graph [Sumner et al. 2007]

$$\min_{\mathbf{R}_1, \mathbf{t}_1, \dots, \mathbf{R}_m, \mathbf{t}_m} \underbrace{w_{\text{rot}} E_{\text{rot}}}_{\text{Rotation term}} + \underbrace{w_{\text{reg}} E_{\text{reg}}}_{\text{Regularization term}} + \underbrace{w_{\text{con}} E_{\text{con}}}_{\text{Constraint term}}$$

Graph parameters



Select & drag vertices of embedded object.

Optimization finds deformation parameters $\mathbf{R}_j, \mathbf{t}_j$.

Deformadores

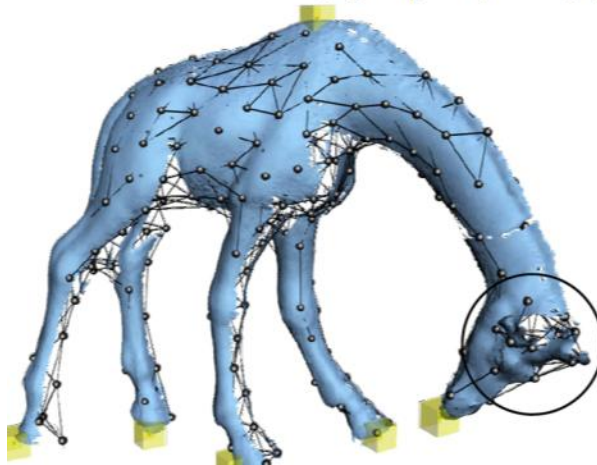
Space deformation

Deformation Graph

[Sumner et al. 2007]

$$\min_{\mathbf{R}_1, \mathbf{t}_1, \dots, \mathbf{R}_m, \mathbf{t}_m} \quad \underline{w_{\text{rot}} E_{\text{rot}}} + w_{\text{reg}} E_{\text{reg}} + w_{\text{con}} E_{\text{con}}$$

$$\text{Rot}(\mathbf{R}) = (\mathbf{c}_1 \cdot \mathbf{c}_2)^2 + (\mathbf{c}_1 \cdot \mathbf{c}_3)^2 + (\mathbf{c}_2 \cdot \mathbf{c}_3)^2 + \\ (\mathbf{c}_1 \cdot \mathbf{c}_1 - 1)^2 + (\mathbf{c}_2 \cdot \mathbf{c}_2 - 1)^2 + (\mathbf{c}_3 \cdot \mathbf{c}_3 - 1)^2$$



$$E_{\text{rot}} = \sum_{j=1}^m \text{Rot}(\mathbf{R}_j)$$

For detail preservation,
features should rotate and
not scale or skew.

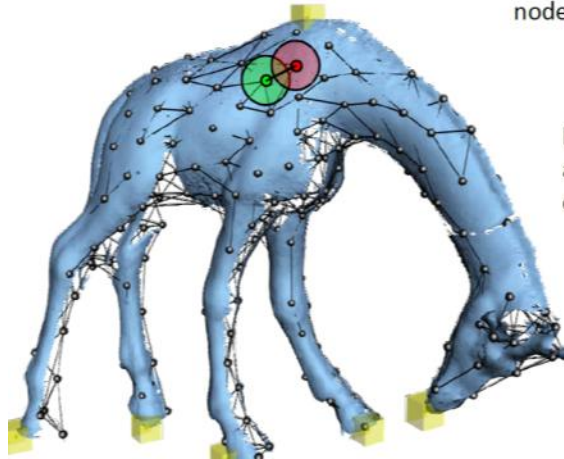
Deformadores

Space deformation

Deformation Graph [Sumner et al. 2007]

$$\min_{\mathbf{R}_1, \mathbf{t}_1, \dots, \mathbf{R}_m, \mathbf{t}_m} w_{\text{rot}} E_{\text{rot}} + \underbrace{w_{\text{reg}} E_{\text{reg}}}_{\text{where node } j \text{ thinks node } k \text{ should go}} + w_{\text{con}} E_{\text{con}}$$

$$E_{\text{reg}} = \sum_{j=1}^m \sum_{k \in N(j)} \alpha_{jk} \left\| \underbrace{\mathbf{R}_j (\mathbf{g}_k - \mathbf{g}_j) + \mathbf{g}_j + \mathbf{t}_j}_{\text{where node } k \text{ actually goes}} - (\mathbf{g}_k + \mathbf{t}_k) \right\|_2^2$$



Neighboring nodes should agree on where they transform each other.

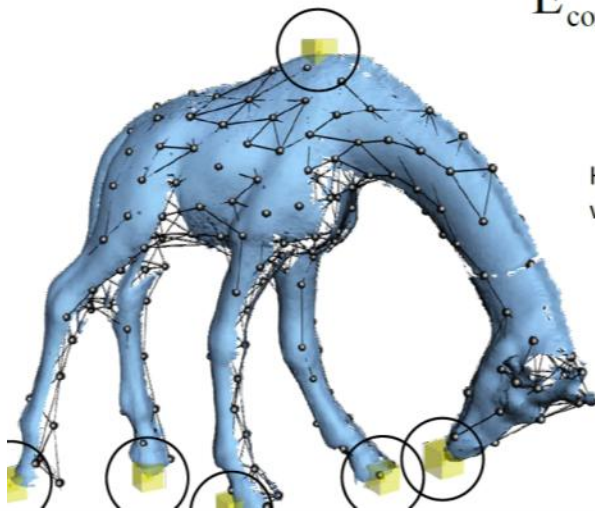
Deformadores

Space deformation

Deformation Graph [Sumner et al. 2007]

$$\min_{\mathbf{R}_1, \mathbf{t}_1, \dots, \mathbf{R}_m, \mathbf{t}_m} w_{\text{rot}} E_{\text{rot}} + w_{\text{reg}} E_{\text{reg}} + \underline{w_{\text{con}} E_{\text{con}}}$$

$$E_{\text{con}} = \sum_{l=1}^p \left\| \tilde{\mathbf{v}}_{\text{index}(l)} - \mathbf{q}_l \right\|_2^2$$



Handle vertices should go where the user puts them.